

## บทที่ 5

### การตรวจสอบความถูกต้องของโปรแกรมคอมพิวเตอร์

ในบทนี้จะนำโปรแกรมคอมพิวเตอร์ที่ประดิษฐ์ขึ้นมาใช้วิเคราะห์ปัญหาการไหลความเร็วสูงแบบต่างๆ ที่มีผลเฉลยแม่นยำตรงเพื่อตรวจสอบความถูกต้องของโปรแกรม โดยจะทำการวิเคราะห์ปัญหาการไหลความเร็วสูงทั้งหมด 4 ปัญหา ซึ่งได้แก่

1. ปัญหาการไหลความเร็วสูงกว่าเสียง 2 เท่าตกกระทบพื้นราบ
2. ปัญหาการไหลความเร็วสูงกว่าเสียง 3 เท่าผ่านพื้นเอียงมุม  $20^\circ$
3. ปัญหาการไหลความเร็วสูงกว่าเสียง 2.6 เท่าผ่านพื้นที่หน้าตัดขยาย
4. ปัญหาการตกกระทบและสะท้อนของคลื่นช็อคบนพื้นราบ

#### 5.1 ปัญหาการไหลความเร็วสูงกว่าเสียง 2 เท่าตกกระทบพื้นราบ

ปัญหาการไหลความเร็วสูงตกกระทบพื้นราบเป็นปัญหาที่มีผลเฉลยแม่นยำตรงจึงนิยมที่จะใช้เพื่อตรวจสอบความถูกต้องของโปรแกรม โดยรูปที่ 5.1 แสดงรูปแบบของปัญหา โดยมีของไหลที่มีค่ามัคคัมเบอร์เท่ากับ 2 ซึ่งไหลทำมุม  $10^\circ$  ตกกระทบพื้นราบก่อให้เกิดคลื่นช็อคเอียง (oblique shock wave) สำหรับเงื่อนไขขอบเขตของการไหลเข้าที่ขอบด้านบนและขอบด้านซ้ายเป็นดังนี้ ค่าความหนาแน่น  $\rho = 1.0$ , ความเร็ว  $u = 1.0$ ,  $v = 0.0$ , พลังงานรวม  $\epsilon = 0.946429$  และอัตราส่วนความร้อนจำเพาะ  $\gamma = 1.4$

ผลเฉลยแม่นยำตรงของปัญหาการไหลความเร็วสูงตกกระทบพื้นราบ เริ่มจากการพิจารณามุมของคลื่นช็อคเอียงดังแสดงในรูปที่ 5.2 โดยมุมของคลื่นช็อคเอียงสามารถคำนวณได้โดยตรงจากสมการของฟังก์ชันอดิซัย (transcendental function) [32] ดังสมการ (5.1)

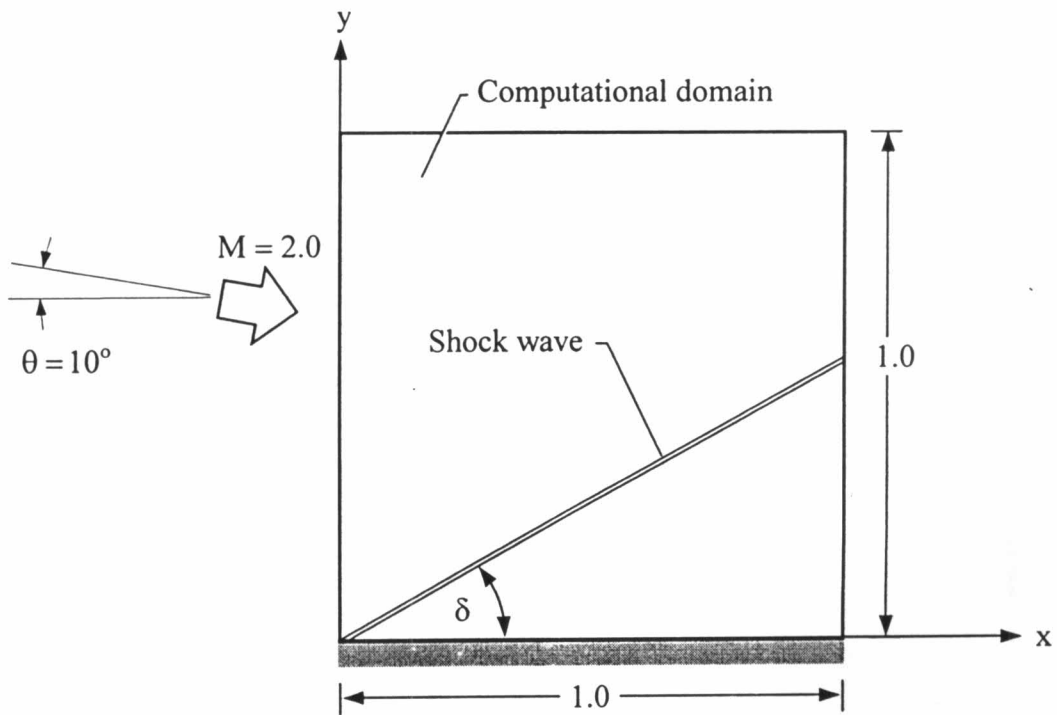
$$\tan \theta = 2 \cot \beta \left[ \frac{M^2 \sin^2 \beta - 1}{M^2 (\gamma + \cos 2\beta) + 2} \right] \quad (5.1)$$

โดยที่  $M$  คือ ค่ามัคคัมเบอร์

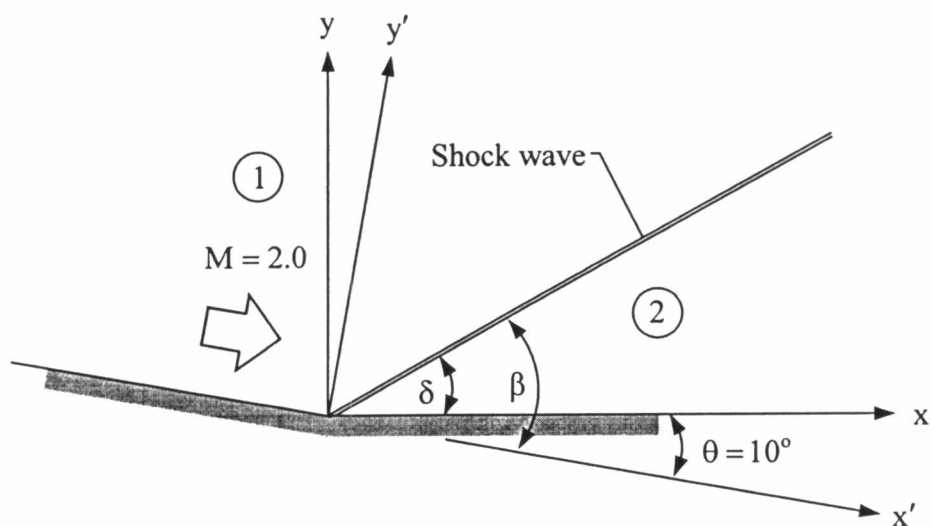
$\gamma$  คือ อัตราส่วนความร้อนจำเพาะของของไหล

$\theta$  คือ ค่ามุมของของไหลที่กระทบพื้น

$\beta$  คือ ค่ามุมคลื่นช็อคเอียงกับทิศทางของการไหล



รูปที่ 5.1 ปัญหาการไหลความเร็วสูงกว่าเสียง 2 เท้าตกระทบพื้นราบ



รูปที่ 5.2 ลักษณะของการไหลตกระทบพื้นราบ

ดังนั้นเมื่อแทนค่า  $M = 2.0$ ,  $\theta = 10^\circ$  และ  $\gamma = 1.4$  ลงในสมการ (5.1) จะได้ผลลัพธ์คือค่ามุม  $\beta = 39.3^\circ$  ทำให้มุมของคลื่นช็อคที่ทำกับพื้นราบ  $\delta$  มีค่าเท่ากับ  $29.3^\circ$  สำหรับความสัมพันธ์ของค่าความหนาแน่น ค่าความดันและค่ามัคคัมเบอร์ ซึ่งเกิดการเปลี่ยนแปลงอย่างกระทันหันผ่านแนวคลื่นช็อคสามารถคำนวณได้จากสมการ (5.2)-(5.4) ตามลำดับโดยมีรายละเอียดดังต่อไปนี้

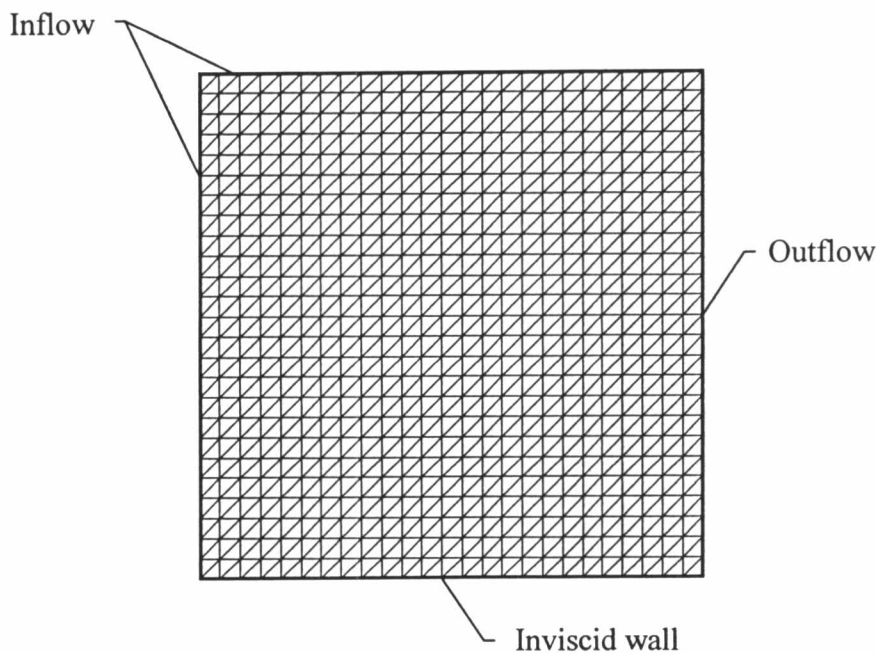
$$\frac{p_2}{p_1} = \frac{(\gamma + 1)M_1^2 \sin^2 \beta}{(\gamma - 1)M_1^2 \sin^2 \beta + 2} \quad (5.2)$$

$$\frac{p_2}{p_1} = 1 + \frac{2\gamma}{\gamma + 1}(M_1^2 \sin^2 \beta - 1) \quad (5.3)$$

$$M_2^2 \sin^2(\beta - \theta) = \frac{(\gamma - 1)M_1^2 \sin^2 \beta + 2}{2\gamma M_1^2 \sin^2 \beta - (\gamma - 1)} \quad (5.4)$$

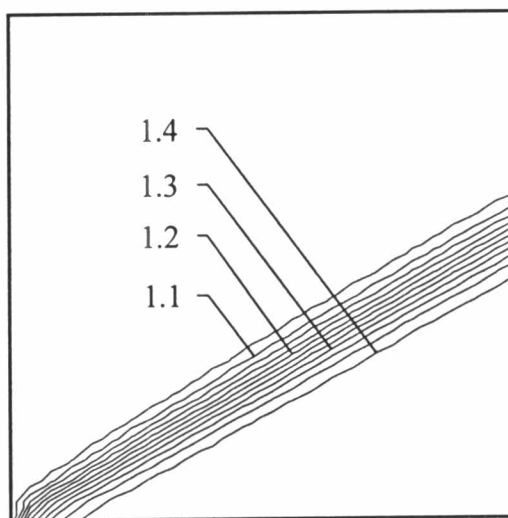
ตัวห้อย 1 และ 2 แสดงถึงค่าก่อนและหลังแนวคลื่นช็อกตามลำดับ เมื่อแทนค่า  $\beta = 39.3^\circ$ ,  $\theta = 10^\circ$ ,  $M_1 = 2.0$  และ  $\gamma = 1.4$  ลงในสมการ (5.2)-(5.4) จะได้ผลลัพธ์ดังต่อไปนี้ อัตราส่วนของความหนาแน่น  $\frac{p_2}{p_1} = 1.4585$  อัตราส่วนของความดัน  $\frac{p_2}{p_1} = 1.7066$  และค่ามัคคัมเบอร์หลังแนวคลื่นช็อก  $M_2 = 1.64$

สำหรับการคำนวณปัญหาการไหลนี้ด้วยโปรแกรม CBSHIFLOW เริ่มต้นจากการแบ่งโดเมนของปัญหาด้วยเอลิเมนต์สามเหลี่ยมซึ่งวางตัวอย่างเป็นระเบียบจำนวน 1,250 เอลิเมนต์ และจำนวนจุดต่อเท่ากับ 676 จุดต่อ ดังแสดงในรูปที่ 5.3

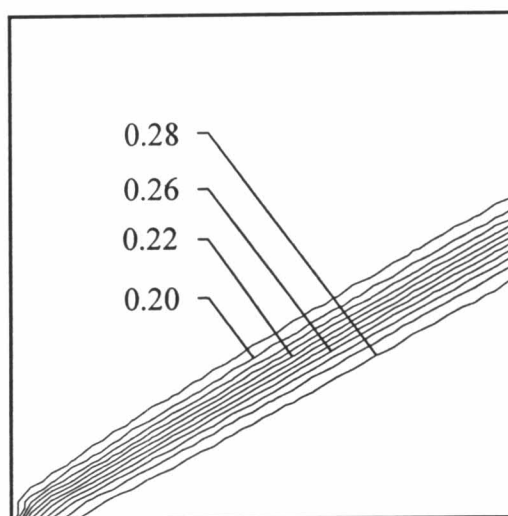


รูปที่ 5.3 รูปแบบไฟไนต์เอลิเมนต์สำหรับปัญหาการไหลความเร็วสูงกว่าเสียง 2 เท่า ตกกระทบพื้นราบ

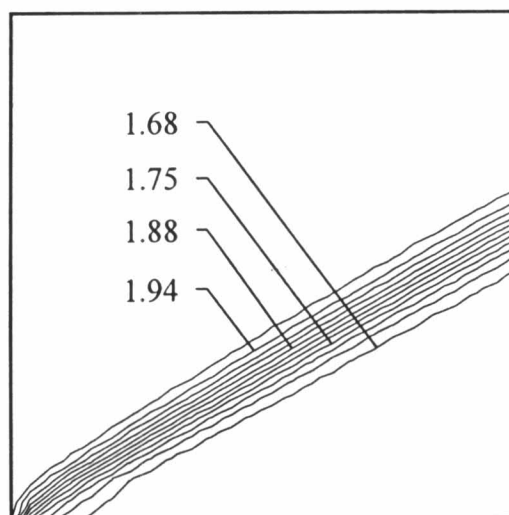
ในรูปที่ 5.4 (ก)-(ค) แสดงเส้นชั้นของค่าความหนาแน่น ค่าความดัน และค่ามัคคัมเบอร์ ที่ได้จากการคำนวณด้วยโปรแกรมคอมพิวเตอร์ CBSHIFLOW ตามลำดับ เพื่อตรวจสอบความถูกต้องของโปรแกรมคอมพิวเตอร์ จึงได้ทำการเปรียบเทียบค่าความหนาแน่น ค่าความดัน และ ค่ามัคคัมเบอร์ที่คำนวณได้กับผลเฉลยแม่นยำตรงที่ตำแหน่ง  $x = 0.5$  บนโดเมนดังแสดงในรูปที่ 5.7 ถึง 5.9 ผลลัพธ์ที่คำนวณได้มีความสอดคล้องกับผลเฉลยแม่นยำตรง แต่แนวคลื่นช็อกที่ได้มีขนาดกว้างอยู่ทั้งนี้เนื่องจากขนาดเอลิเมนต์ที่ใช้ในบริเวณแนวของคลื่นช็อกมีขนาดใหญ่ ซึ่งสามารถแก้ไขได้โดยการประยุกต์เทคนิคการปรับขนาดเอลิเมนต์โดยอัตโนมัติ



(ก) เส้นชั้นของค่าความหนาแน่น

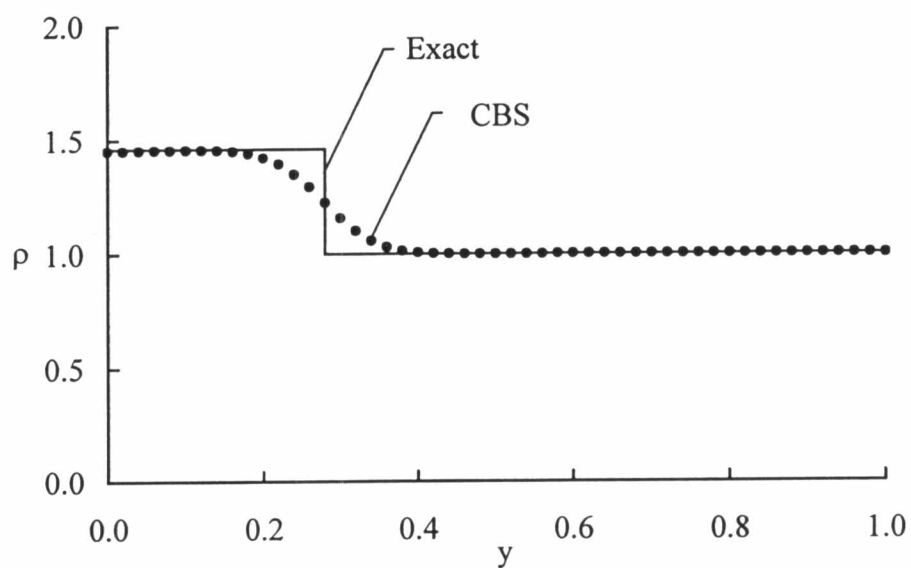


(ข) เส้นชั้นของค่าความดัน

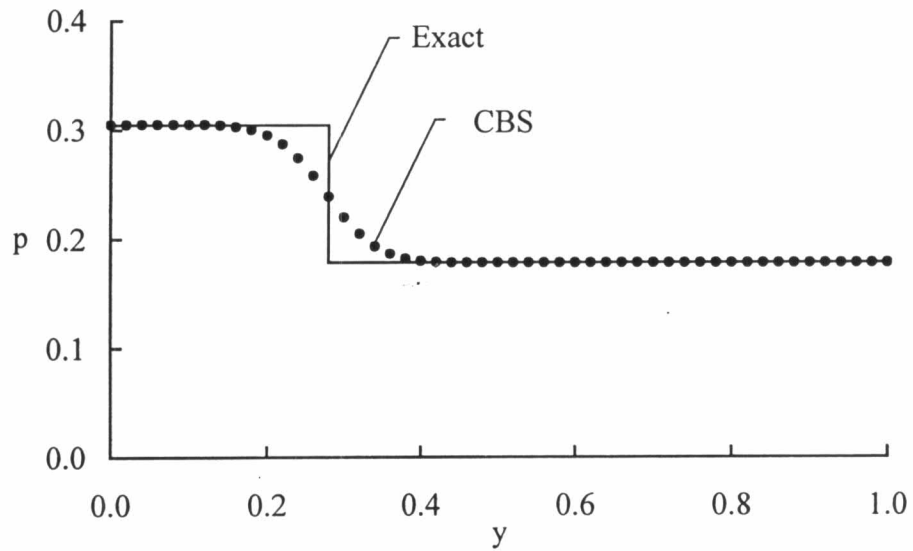


(ค) เส้นชั้นของค่ามัคคัมเบอร์

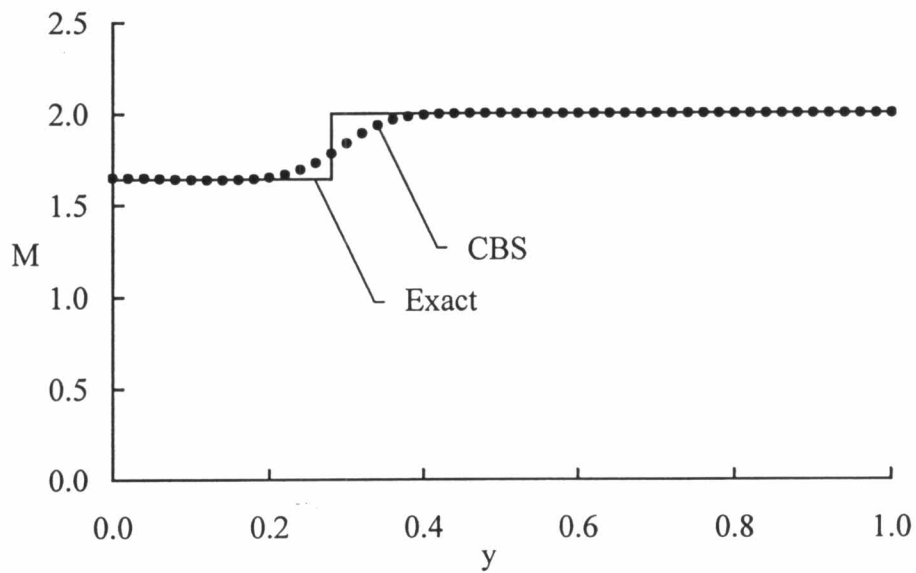
รูปที่ 5.4 เส้นชั้นของค่าความหนาแน่น ความดัน และมัคคัมเบอร์สำหรับปัญหาการไหลความเร็วสูงกว่าเสียง 2 เท่าตกกระทบบนพื้นราบ



รูปที่ 5.5 การเปรียบเทียบการกระจายของค่าความหนาแน่นสำหรับปัญหาการไหลความเร็วสูงกว่าเสียง 2 เท่า ตกกระทบบนพื้นราบ ที่ตำแหน่ง  $x = 0.5$



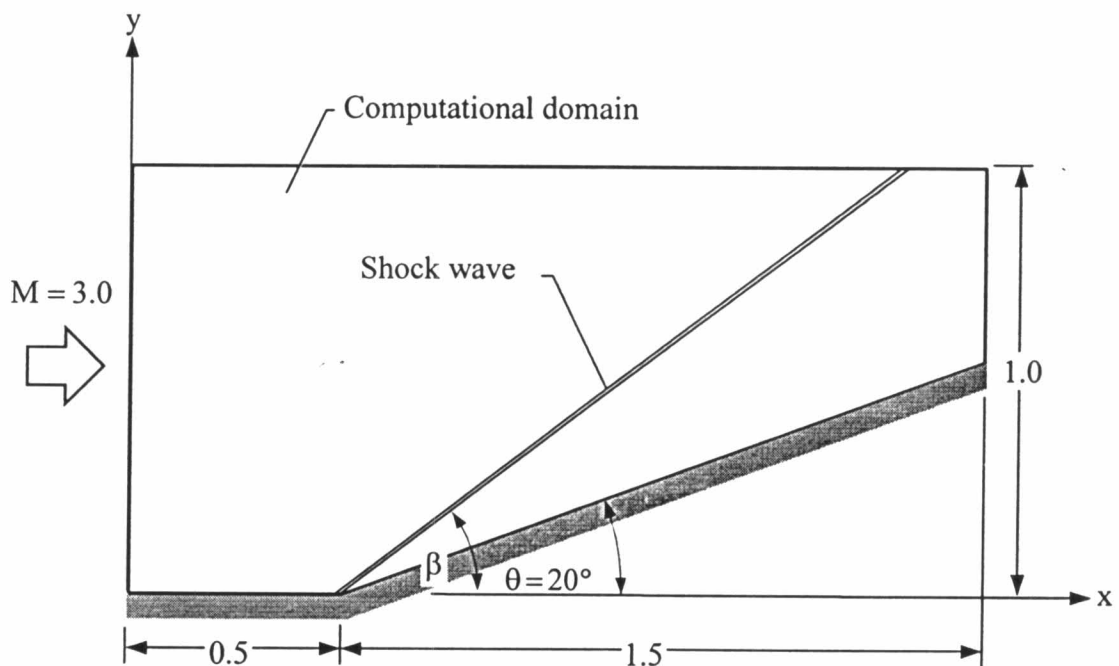
รูปที่ 5.6 การเปรียบเทียบการกระจายของค่าความดันสำหรับปัญหาการไหล  
ความเร็วสูงกว่าเสียง 2 เท่า ตกกระทบพื้นราบ ที่ตำแหน่ง  $x = 0.5$



รูปที่ 5.7 การเปรียบเทียบการกระจายของค่ามัคัมเบอร์สำหรับปัญหาการไหล  
ความเร็วสูงกว่าเสียง 2 เท่า ตกกระทบพื้นราบ ที่ตำแหน่ง  $x = 0.5$

## 5.2 ปัญหาการไหลความเร็วสูงกว่าเสียง 3 เท่าผ่านพื้นเอียงมุม $20^\circ$

การไหลความเร็วสูงผ่านพื้นเอียงดังรูปที่ 5.8 เป็นปัญหาพื้นฐานอีกปัญหาหนึ่งที่ใช้ในการตรวจสอบความถูกต้องของโปรแกรมคอมพิวเตอร์ ในปัญหานี้จะมีของไหลความเร็วสูงกว่าเสียง 3 เท่า ผ่านเข้าทางขอบด้านซ้ายของปัญหาแล้วผ่านมากระทบพื้นเอียงที่ทำมุม  $\theta = 20^\circ$  ก่อให้เกิดคลื่นช็อกเอียงเกิดขึ้น สำหรับเงื่อนไขขอบเขตของการไหลเข้าที่ขอบด้านซ้ายเป็นดังนี้ ค่าความหนาแน่น  $\rho = 1.0$ , ความเร็ว  $u = 1.0$ ,  $v = 0.0$ , พลังงานรวม  $\epsilon = 0.698412$  และอัตราส่วนความร้อนจำเพาะ  $\gamma = 1.4$

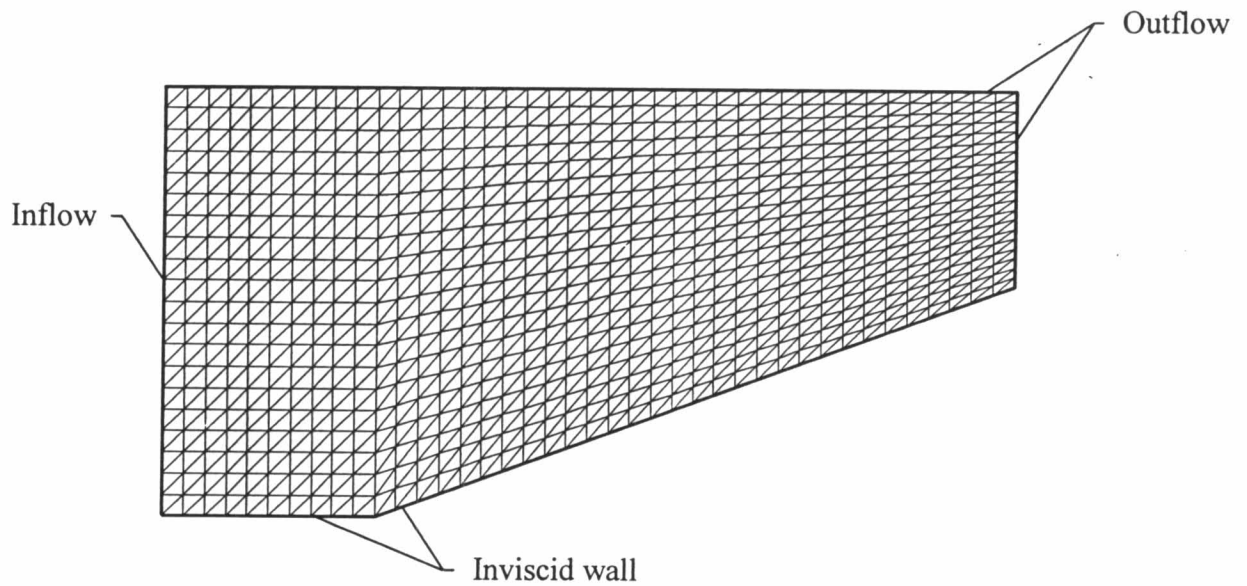


รูปที่ 5.8 ปัญหาการไหลความเร็วสูงกว่าเสียง 3 เท่าผ่านพื้นเอียงทำมุม  $20^\circ$

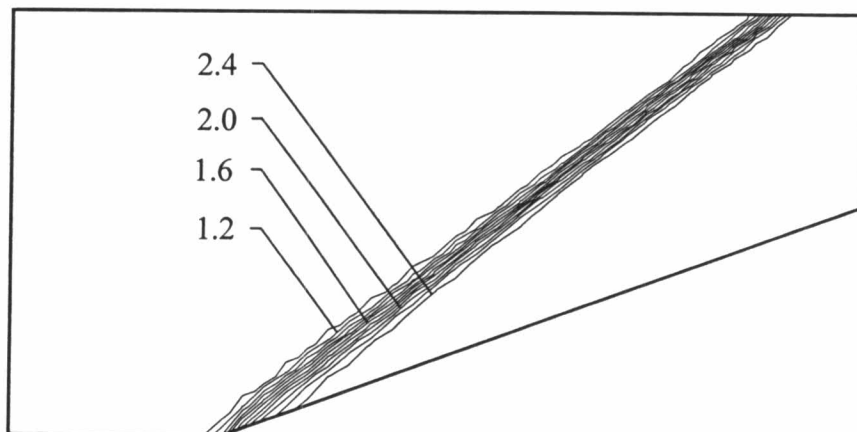
การคำนวณหาค่าผลเฉลยแม่นยำตรงของการไหลนี้ทำได้เช่นเดียวกับปัญหาในหัวข้อที่ 5.1 โดยการแทนค่า  $M = 3.0$ ,  $\theta = 20^\circ$  และ  $\gamma = 1.4$  ลงในสมการ (5.1) จะได้ผลลัพธ์คือค่ามุมของคลื่นช็อกเอียง  $\beta$  ซึ่งมีค่าเท่ากับ  $37.76^\circ$  และเมื่อแทนค่า  $\beta = 37.76^\circ$ ,  $\theta = 20^\circ$ ,  $M_1 = 3.0$  และ  $\gamma = 1.4$  ลงในสมการ (5.2)-(5.4) จะได้ผลลัพธ์คือ อัตราส่วนของความหนาแน่น  $\frac{\rho_2}{\rho_1} = 2.4182$

อัตราส่วนของความดัน  $\frac{P_2}{P_1} = 3.7717$  และค่ามัคกัมเบอร์หลังแนวคลื่นช็อก  $M_2 = 1.9940$

การคำนวณปัญหาการไหลความเร็วสูงนี้ด้วยโปรแกรม CBSHIFLOW เริ่มโดยการแบ่งโดเมนของปัญหาออกเป็นเอลิเมนต์สามเหลี่ยมซึ่งวางตัวอย่างเป็นระเบียบจำนวน 1,600 เอลิเมนต์ และจำนวนจุดต่อ 861 จุดต่อ ดังแสดงในรูปที่ 5.9 เส้นชั้นของค่าความหนาแน่น ค่าความดัน และค่ามัคัมเบอร์ ที่คำนวณได้ แสดงในรูปที่ 5.10 (ก)-(ค) ตามลำดับ

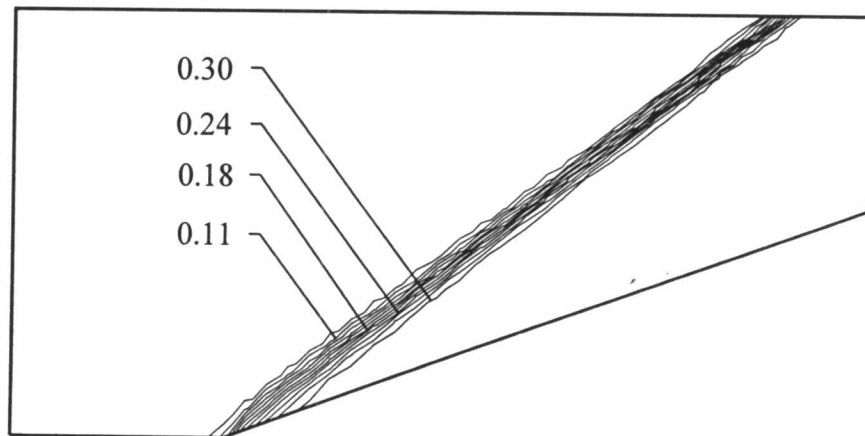


รูปที่ 5.9 รูปแบบไฟไนต์เอลิเมนต์สำหรับปัญหาการไหลความเร็วสูงกว่าเสียง 3 เท่า ผ่านพื้นเอียงทำมุม  $20^\circ$

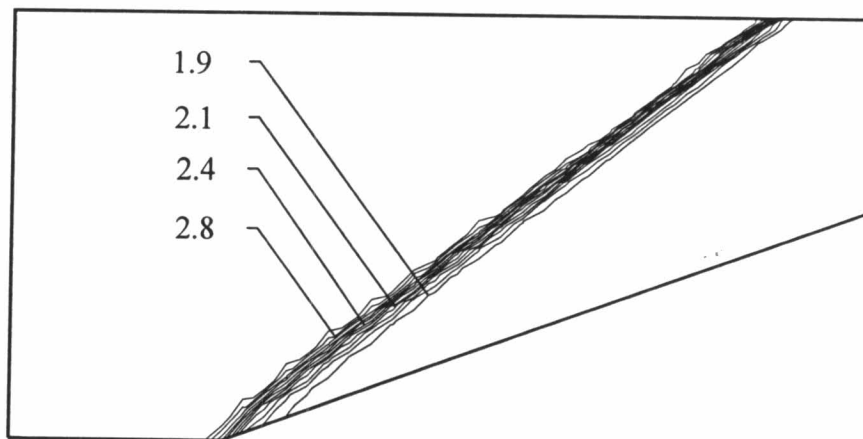


(ก) เส้นชั้นของค่าความหนาแน่น





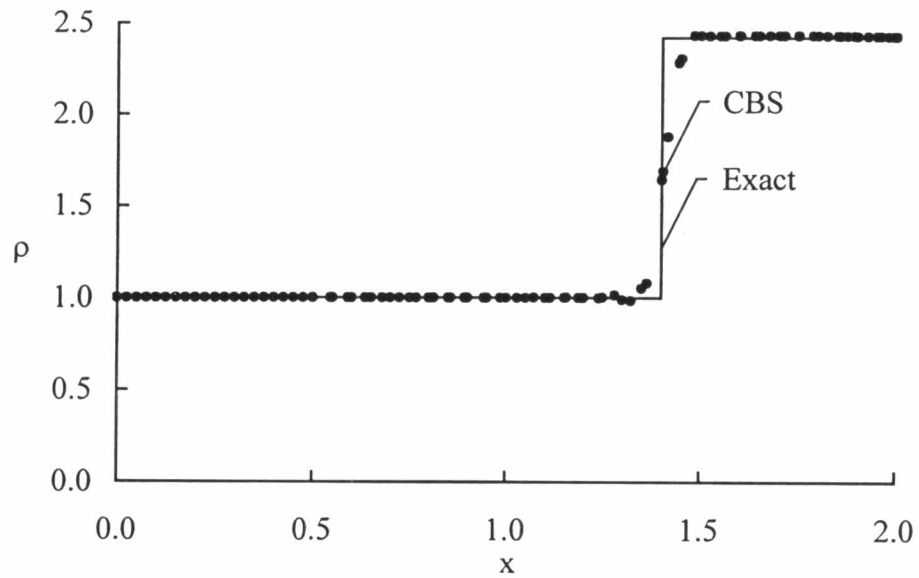
(ข) เส้นชั้นของค่าความดัน



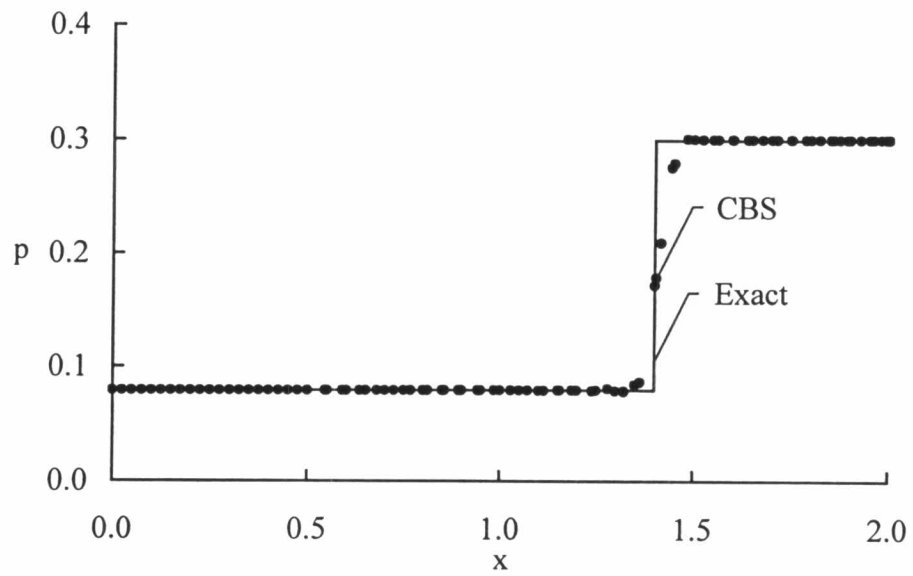
(ค) เส้นชั้นของค่ามัคนัมเบอร์

รูปที่ 5.10 เส้นชั้นของค่าความหนาแน่น ความดัน และมัคนัมเบอร์สำหรับปัญหา  
การไหลความเร็วสูงกว่าเสียง 3 เท่าผ่านพื้นเอียงทำมุม  $20^\circ$

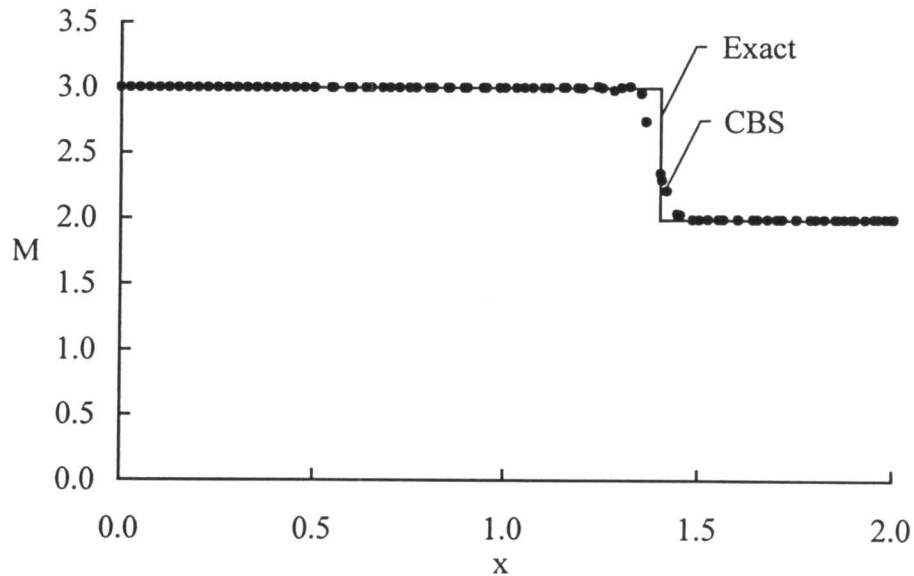
เพื่อตรวจสอบความถูกต้องของผลลัพธ์ที่ได้จากโปรแกรม CBSHIFLOW ในรูปที่ 5.11 ถึง 5.13 เป็นการเปรียบเทียบค่าความหนาแน่น ความดัน และมัคนัมเบอร์ ที่คำนวณได้กับผลเฉลย  
แม่นยำที่ตำแหน่งความสูง  $y = 0.7$  จากผลลัพธ์ที่คำนวณได้พบว่ามีค่าสอดคล้องกับผลเฉลย  
แม่นยำแต่คลื่นช็อกยังมีความกว้างอยู่ ทั้งนี้เนื่องจากเอลิเมนต์ที่ใช้ในบริเวณแนวคลื่นช็อกมีขนาด  
ใหญ่



รูปที่ 5.11 การเปรียบเทียบการกระจายของค่าความหนาแน่นสำหรับปัญหาการไหลความเร็วสูงกว่าเสียง 3 เท่า ผ่านพื้นเอียงทำมุม  $20^\circ$  ที่ตำแหน่ง  $y = 0.7$



รูปที่ 5.12 การเปรียบเทียบการกระจายค่าความดันสำหรับปัญหาการไหลความเร็วสูงกว่าเสียง 3 เท่า ผ่านพื้นเอียงทำมุม  $20^\circ$  ที่ตำแหน่ง  $y = 0.7$



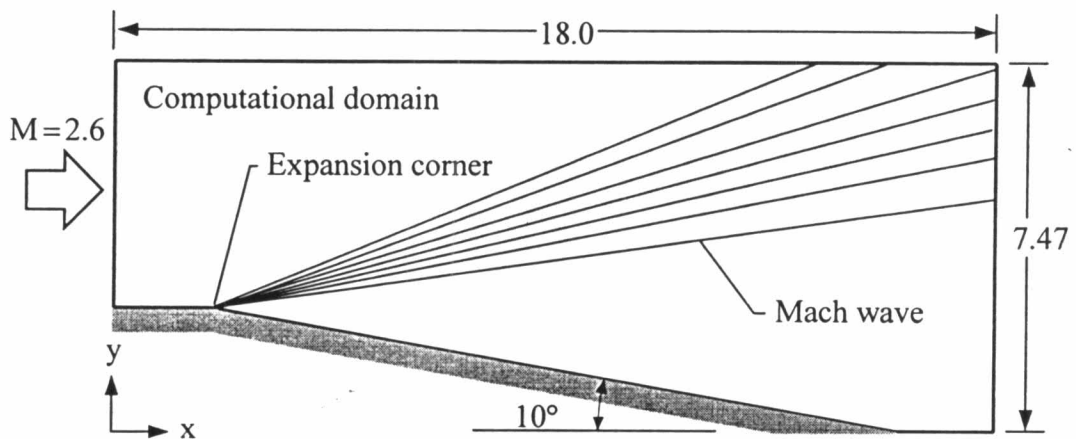
รูปที่ 5.13 การเปรียบเทียบการกระจายค่ามัคคัมเบอร์สำหรับปัญหาการไหลความเร็วสูงกว่าเสียง 3 เท่า ผ่านพื้นเอียงทำมุม  $20^\circ$  ที่ตำแหน่ง  $y = 0.7$

### 5.3 ปัญหาการไหลความเร็วสูงกว่าเสียง 2.6 เท่าผ่านพื้นที่หน้าตัดขยาย

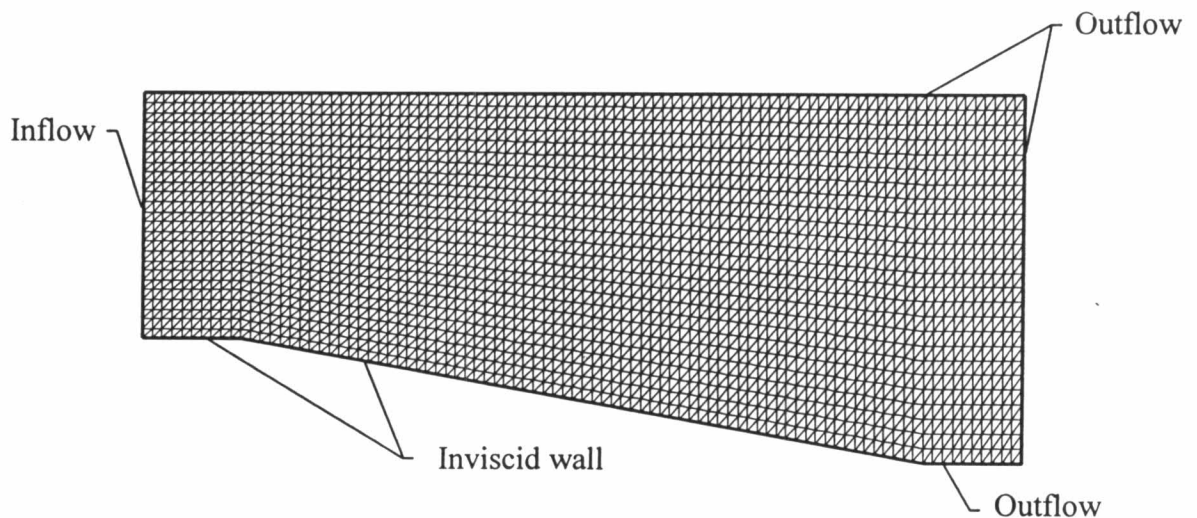
ลักษณะของปัญหาเป็นการไหลของของไหลที่มีความเร็วสูงกว่าเสียง 2.6 เท่า ผ่านเข้าทางด้านซ้ายมือของโดเมนจากนั้นจึงไหลผ่านหน้าตัดที่ขยายกว้างออกมากขึ้น โดยทำมุม  $10^\circ$  กับพื้นราบ ดังแสดงในรูปที่ 5.14 ส่งผลให้คุณสมบัติของของไหลคือ ค่าความหนาแน่น ค่าความดัน และอุณหภูมิมีค่าลดลง ขณะที่ค่าความเร็วจะมีค่าสูงขึ้นเนื่องมาจากการขยายตัวของพื้นที่การไหลและเกิดคลื่นช็อคตรงจุดมุม (expansion corner) เพราะเป็นบริเวณที่มีการเปลี่ยนแปลงขนาดพื้นที่หน้าตัดอย่างฉับพลัน สำหรับเงื่อนไขขอบเขตของการไหลเข้าที่ขอบด้านซ้ายเป็นดังนี้ ค่าความหนาแน่น  $\rho = 1.0$ , ความเร็ว  $u = 1.0$ ,  $v = 0.0$ , พลังงานรวม  $\epsilon = 0.764159$  และอัตราส่วนความร้อนจำเพาะ  $\gamma = 1.4$

ในรูปที่ 5.15 เป็นการแสดงรูปแบบไฟไนต์เอลิเมนต์ซึ่งประกอบด้วยเอลิเมนต์สามเหลี่ยมที่วางตัวอย่างเป็นระเบียบจำนวน 4,500 เอลิเมนต์ และจำนวนจุดต่อ 2,366 จุดต่อ เส้นชั้นของค่าความหนาแน่น ค่าความดันที่คำนวณโดยใช้โปรแกรม CBSHIFLOW แสดงในรูปที่ 5.16 (ก)-(ข) การเปรียบเทียบผลลัพธ์ที่ได้จากการคำนวณกับผลเฉลยแม่นยำตรงตามแนวผนังสำหรับค่าความหนาแน่น ค่าความดัน โดยแสดงในรูปที่ 5.17 และ 5.18 ตามลำดับ

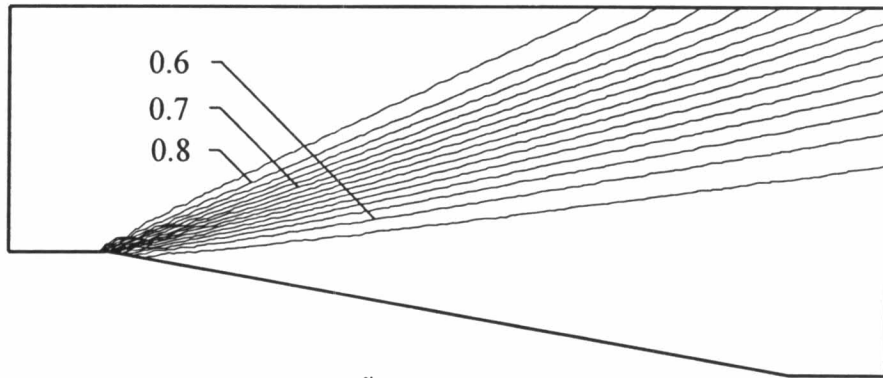
จากผลลัพธ์ที่ได้พบว่าในบริเวณก่อนและหลังจุดหักมุม ค่าของความหนาแน่นและความดันมีความสอดคล้องกับผลเฉลยแม่นยำ แต่จะเกิดความผิดพลาดค่อนข้างมากในบริเวณจุดหักมุม ซึ่งคุณสมบัติของของไหลเกิดการเปลี่ยนแปลงอย่างกะทันหัน ทั้งนี้เนื่องจากเอลิเมนต์ที่ใช้ในบริเวณนั้นมีขนาดใหญ่ หากต้องการผลลัพธ์ที่มีความเที่ยงตรงขึ้นจำเป็นต้องใช้เอลิเมนต์ที่มีขนาดเล็กในบริเวณดังกล่าวและในบริเวณอื่นซึ่งการเปลี่ยนแปลงของค่อนข้างน้อยก็ใช้เอลิเมนต์ที่มีขนาดใหญ่ได้



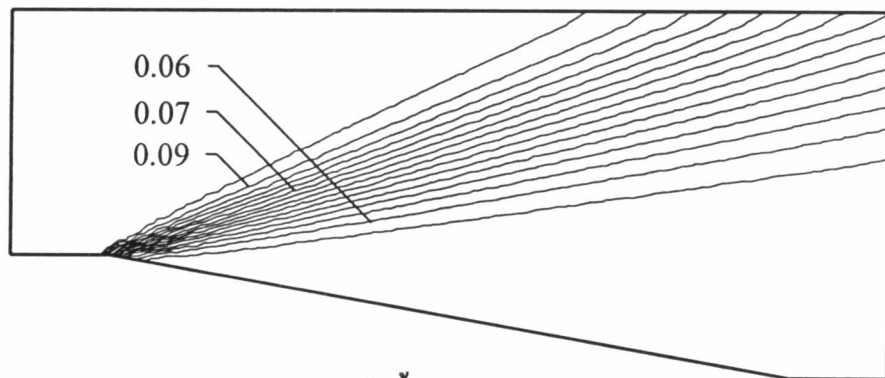
รูปที่ 5.14 ปัญหาการไหลความเร็วสูงกว่าเสียง 2.6 เท่าผ่านพื้นที่หน้าตัดขยาย



รูปที่ 5.15 รูปแบบไฟไนต์เอลิเมนต์สำหรับปัญหาการไหลความเร็วสูงกว่าเสียง 2.6 เท่าผ่านพื้นที่หน้าตัดขยาย

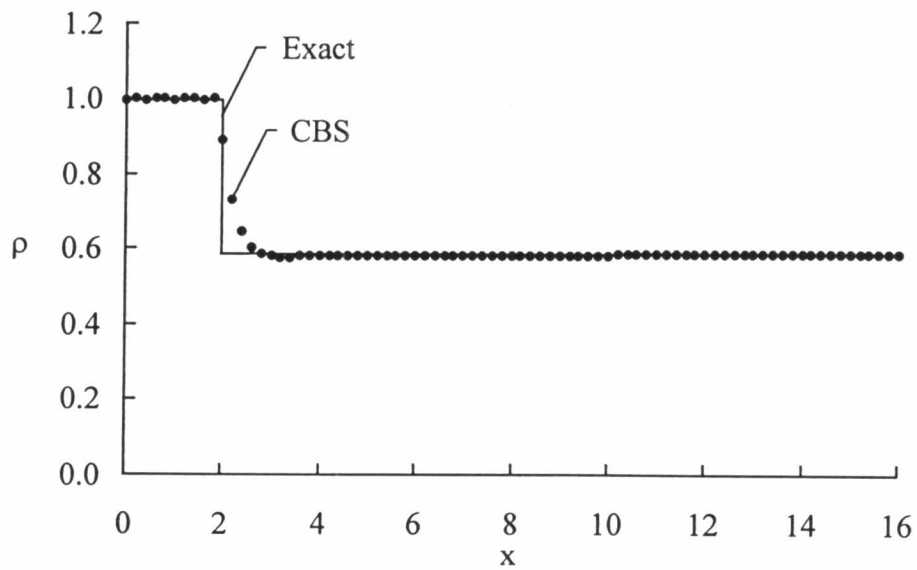


(ก) เส้นชั้นของค่าความหนาแน่น

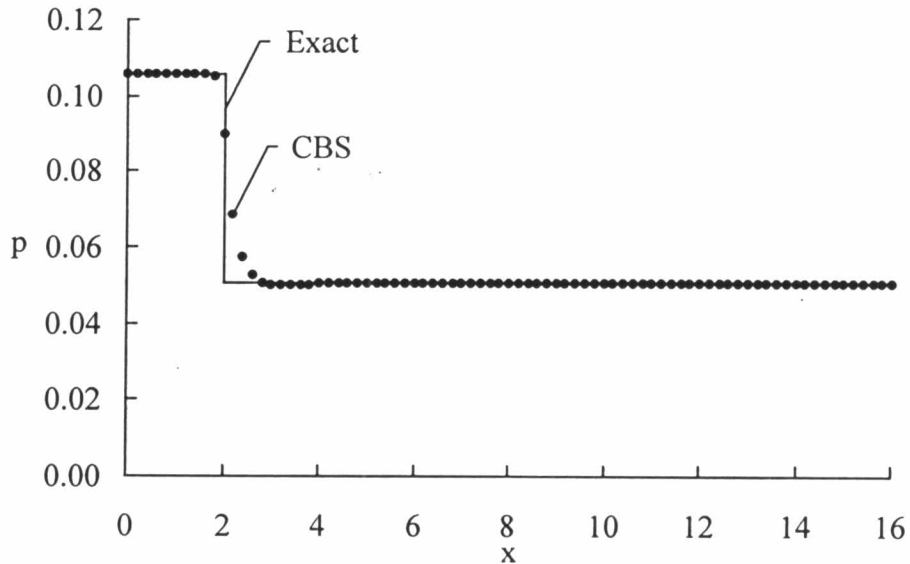


(ข) เส้นชั้นของค่าความดัน

รูปที่ 5.16 เส้นชั้นของค่าความหนาแน่น ความดัน สำหรับปัญหาการไหลความเร็วสูงกว่าเสียง 2.6 เท่า ผ่านพื้นที่หน้าตัดขยาย



รูปที่ 5.17 การเปรียบเทียบการกระจายของค่าความหนาแน่นตามผนังของปัญหาการไหลความเร็วสูงกว่าเสียง 2.6 เท่า ผ่านพื้นที่หน้าตัดขยาย

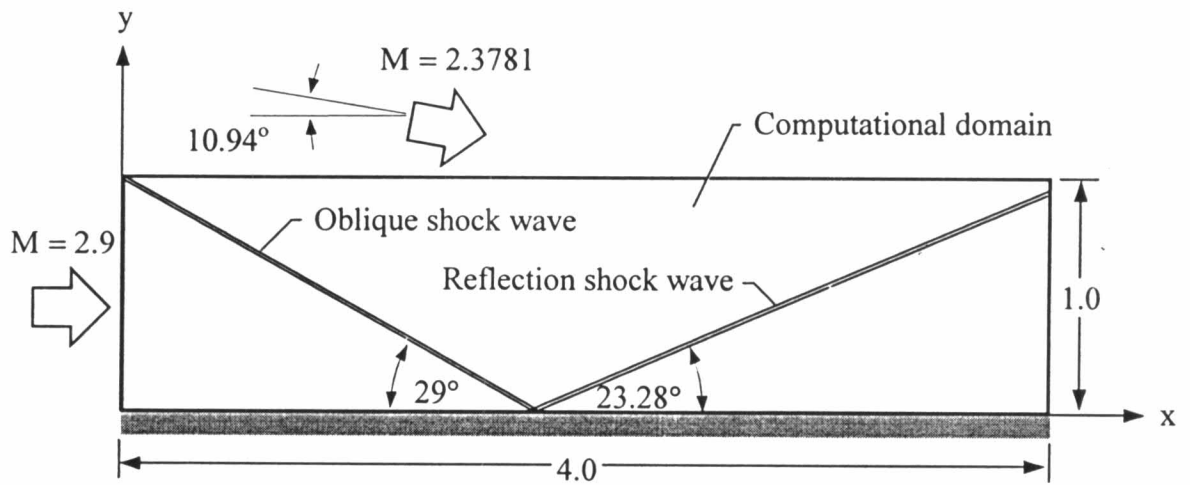


รูปที่ 5.18 การเปรียบเทียบการกระจายของค่าความดันตามผนังของปัญหาการไหล  
ความเร็วสูงกว่าเสียง 2.6 เท่า ผ่านพื้นที่หน้าตัดขยาย

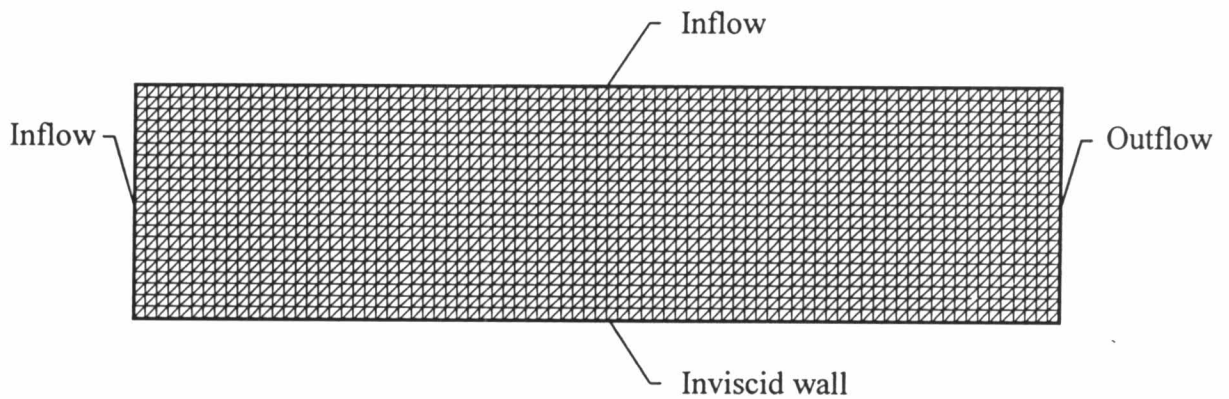
#### 5.4 ปัญหาการตกกระทบและสะท้อนของคลื่นช็อคบนพื้นราบ

ปัญหาการตกกระทบและสะท้อนของคลื่นช็อคบนพื้นราบ จัดเป็นอีกหนึ่งปัญหาพื้นฐานที่ใช้ในการตรวจสอบความถูกต้องของโปรแกรมคอมพิวเตอร์ รูปแบบของปัญหาคือ มีของไหลที่มีความเร็วสูงกว่าเสียง 2.9 เท่า ไหลเข้าทางขอบด้านซ้ายของปัญหาและมีของไหลที่มีความเร็วสูงกว่าเสียง 2.3781 เท่า ไหลเข้าที่ขอบด้านบนของปัญหาในทิศทางทำมุม  $10.94^\circ$  กับพื้นราบ ดังแสดงในรูปที่ 5.19 การกระทบกันของคลื่นช็อคทั้งสองก่อให้เกิดคลื่นช็อคเอียง (oblique shock wave) เกิดขึ้นทำมุมตกกระทบ  $29^\circ$  กับพื้นราบ และการกระทบพื้นของของไหลที่ไหลเข้าจากทางด้านบน ก่อให้เกิดคลื่นช็อคสะท้อน (reflection shock wave) เกิดขึ้นทำมุม  $23.28^\circ$  กับพื้นราบ สำหรับเงื่อนไขขอบเขตของการไหลเข้าของปัญหานี้คือ ตลอดขอบด้านบนกำหนด ค่าความหนาแน่น  $\rho = 1.0$ , ความเร็ว  $u = 2.9$ ,  $v = 0.0$ , พลังงานรวม  $\epsilon = 5.990714$  และตลอดขอบด้านบนกำหนดให้ ค่าความหนาแน่น  $\rho = 1.7$ , ความเร็ว  $u = 2.619334$ ,  $v = -0.506320$ , พลังงานรวม  $\epsilon = 5.805957$  และอัตราส่วนความร้อนจำเพาะของของไหล  $\gamma = 1.4$

การวิเคราะห์ปัญหาการไหลนี้ด้วยโปรแกรม CBSHIFLOW เริ่มต้นด้วยการแบ่งโดเมนการคำนวณออกเป็นเอลิเมนต์สามเหลี่ยมที่วางตัวอย่างเป็นระเบียบจำนวน 3,200 เอลิเมนต์ และ 1,701 จุดต่อ ดังแสดงในรูปที่ 5.20

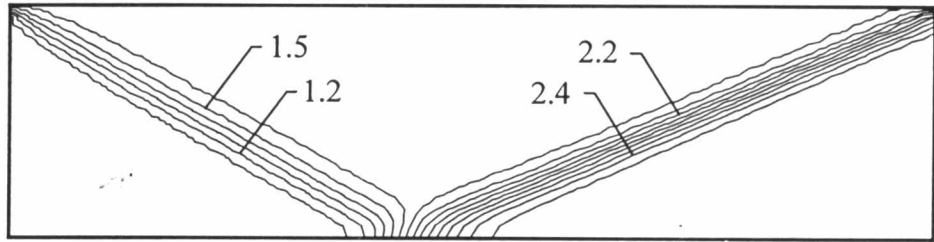


รูปที่ 5.19 ปัญหาการตกกระทบและสะท้อนของคลื่นช็อคบนพื้นราบ

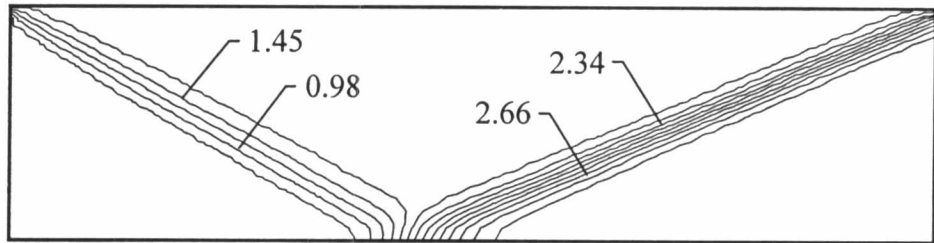


รูปที่ 5.20 รูปแบบไฟไนต์เอลิเมนต์สำหรับปัญหาการตกกระทบและสะท้อนของคลื่นช็อคบนพื้นราบ

จากผลลัพธ์ที่คำนวณได้โดยใช้โปรแกรม CBSHIFLOW ยังมีความถูกต้องค่อนข้างน้อย ทั้งนี้เนื่องจากลักษณะของคลื่นช็อคที่เกิดจากการตกกระทบกันของของไหลและคลื่นช็อคสะท้อนจากพื้นราบยังคงเป็นเส้นที่มีความหนาอยู่มาก เส้นชั้นของความหนาแน่นและความดันแสดงในรูปที่ 5.21(ก)-(ข) ตามลำดับ การตรวจสอบความถูกต้องของผลลัพธ์ที่คำนวณได้กับผลเฉลยแม่นยำได้ทำการเปรียบเทียบที่ตำแหน่ง  $y = 0.25$  พบว่าในบริเวณการเปลี่ยนแปลงของคุณสมบัติของของไหลค่อนข้างน้อยผลลัพธ์มีความสอดคล้องกันเป็นอย่างดี ส่วนในบริเวณแนวคลื่นช็อคผลลัพธ์มีความผิดพลาดอยู่ ทั้งนี้เนื่องจากเอลิเมนต์ที่ใช้ในบริเวณแนวคลื่นช็อคมีขนาดใหญ่ดังในรูปที่ 5.22 และ 5.23 เป็นการเปรียบเทียบของค่าความหนาแน่นและความดัน ตามลำดับ

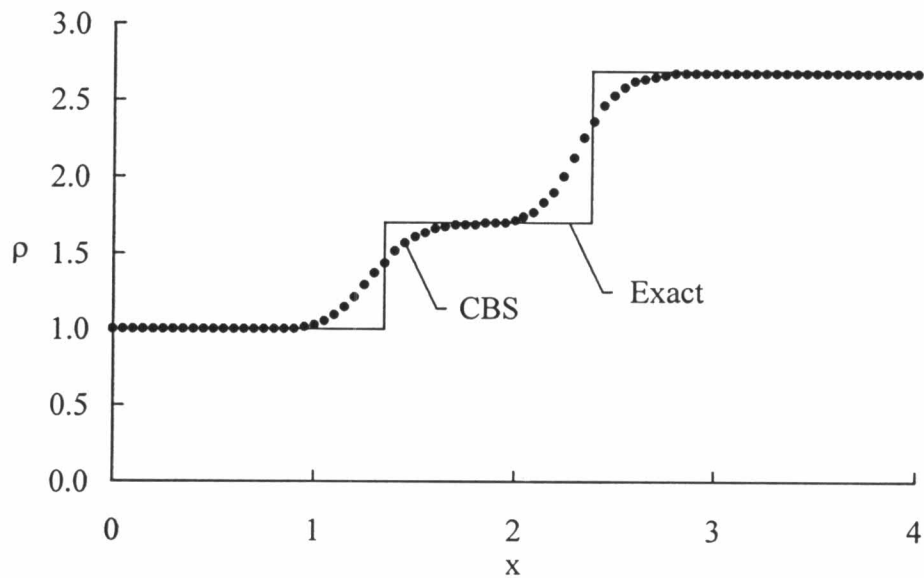


(ก) เส้นชั้นของค่าความหนาแน่น



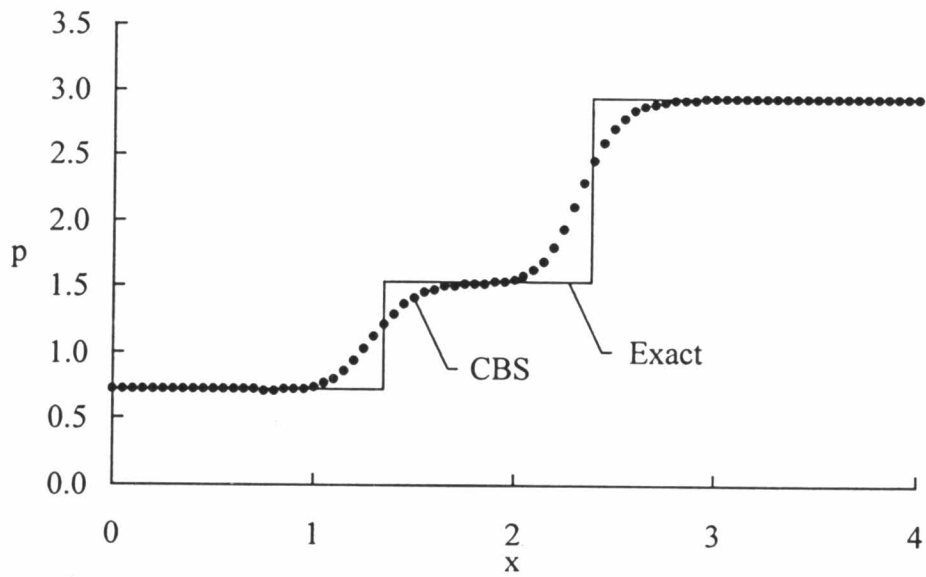
(ข) เส้นชั้นของค่าความดัน

รูปที่ 5.21 เส้นชั้นของค่าความหนาแน่น ความดัน สำหรับปัญหาการตกกระทบและสะท้อนของคลื่นช็อคบนพื้นราบ



รูปที่ 5.22 การเปรียบเทียบการกระจายค่าความหนาแน่นสำหรับปัญหาการตกกระทบและสะท้อนของคลื่นช็อคบนพื้นราบที่ตำแหน่ง  $y = 0.25$





รูปที่ 5.23 การเปรียบเทียบการกระจายค่าความดันสำหรับปัญหาการตกกระทบ และสะท้อนของคลื่นช็อคบนพื้นราบที่ตำแหน่ง  $y = 0.25$